

## Werk

**Label:** Article

**PURL:** [https://resolver.sub.uni-goettingen.de/purl?31311028X\\_0067|log15](https://resolver.sub.uni-goettingen.de/purl?31311028X_0067|log15)

## Kontakt/Contact

Digizeitschriften e.V.  
SUB Göttingen  
Platz der Göttinger Sieben 1  
37073 Göttingen

✉ [info@digizeitschriften.de](mailto:info@digizeitschriften.de)

## Fotometrický průřez hlavy komety Finslerovy v blízkosti perihelu.

Bohumil Šternberk, Stará Čala.

(Došlo 20. září 1937.)

Věnováno panu profesorovi dr. Františku Nušlovi k jeho sedmdesátinám v den 3. prosince 1937.

Fotometrické proměřování komet má značný význam pro teorii těchto těles; přesná měření jsou však dosud obtížná podobně jako u mlhovin a proto je k disposici dosud málo výsledků, jež by snesly přísnější kritiku.

Pokusil jsem se při nedávném přiblížení komety 1937f (Finsler) Zemi a Slunci získati řadu snímků 60 cm zrcadlem starodálské observatoře pro určení fotometrického profilu hlavy této komety. Na rozdíl od objektivů o větším poli, jakým sledovali tuto kometu na př. Štěpánek a Nušl<sup>1)</sup> nehodí se parabolické zrcadlo pro studium ohonu komet; delší ohnisková vzdálenost zrcadla dává naproti tomu i v Newtonově systému obrázek samotné hlavy dosti veliký, aby mohl být zpracován registračním mikrofotometrem při dostatečně úzké projekci štěrbiny.

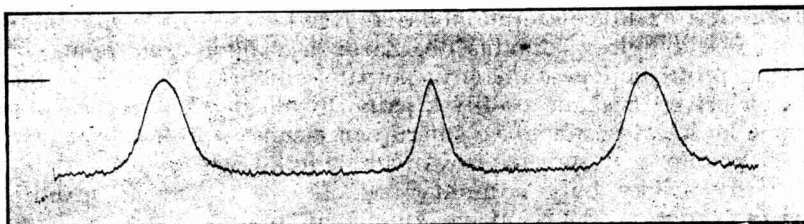
Absolutní škálu je možno určiti dvěma cestami: buď vkopírováním na př. rourkovým fotometrem, nebo použitím komety samé, snímky s clonou a bez clony. Proti vkopírování škály nutno namítnat rozdíl spektrálního složení světla umělých zdrojů a světla komety, jež dává jinou gradaci na fotografické desce. Metoda druhá, jež vede, jak známo, k rovnici řešené podrobně Schwarzschildem,<sup>2)</sup> je v daném případě výhodná, protože hlava komety představuje jakýsi fotometrický klín, z něhož lze použitím registračního mikrofotometru velmi podrobně získati diferenční křivku. Ideální by ovšem byly současné snímky dvěma stejnými objektivy na téže desce (stereokamera). To je prakticky možné

<sup>1)</sup> Circ. U. A. J., No. 683 (1937).

<sup>2)</sup> Astr. Nachr., 172 (1906), 65.

jen pro malé ohniskové vzdálenosti a tedy na př. pro fotometrické studium ohonu<sup>3)</sup>

V našém případě bylo nutné prováděti snímky postupně bez clony a se clonou. Symetrické uspořádání 3 exposic vyloučilo pokud možno vliv pravidelných změn extinkce a jasnosti komety. Pokud se týče změn extinkce, máme také kontrolu ve stopách stálic. Dostatečná světllosnost zrcadla umožnila kromě toho snímky s poměrně krátkou expozicí (2 min. až 20 min.). Stlumení světla clonou o otvoru 42 cm obnášelo podle výpočtu s ohledem na pomocné zrcadlo 0,935 m. Exposice byly prováděny podle schématu: bez clony, s clonou, bez clony. Mezi jednotlivými snímky



Obr. 1.

posunul jsem kasetu asi o 1 cm. Směr tohoto posunu byl zvolen přibližně kolmo k ohonu komety. Při exposicích byl veden dalekohled dvacetcentimetrovým vodičem za kometou.

Výsledky spočívají celkem na 24 snímcích komety. Dr. B. Novákové jsem zavázán za pomoc při exposicích a za provedení mikrofotogramů na registračním mikrofotometru Mollově ve Spektroskopickém ústavu Karlovy univerzity v Praze. Stroj byl k tomu účelu propůjčen laskavostí pana prof. dr. Dolejška, jemuž rovněž děkuji.

Projekce štěrbiny měla rozložení asi  $0,1 \text{ mm} \times 0,1 \text{ mm}$ ; byl kontrolován jednak velikostí reálné štěrbiny, jednak tím, že byly proměřeny snímky štěrbiny na fotografickém papíru. Z výsledků vidíme, že spád jasnosti v této šířce kolísal asi mezi 0,1<sup>m</sup> až 0,35<sup>m</sup>. Vzhledem k formě křivky neměly patrně tyto rozložení světlé skvrny vlivu na výsledný profil až na partie jádra nejbližší. Menšího obrázku štěrbiny nebylo možno použít jednak pro nedostatek světla, jednak pro značné vystoupení zrna desky ve slabších částech snímku. Ostatně nedokonalosti vedení dosahují u tak nesnadných objektů, jakými jsou komety, mezí, odpovídajících šířce obrázku štěrbiny mikrofotometru. Zvětšení bylo zvoleno 7×.

<sup>3)</sup> Schwarzschild-Kron, *Astrophys. Journ.*, **34** (1911), 342.

Obraz 1. je reprodukcí jednoho z mikrofotogramů a sice 313 N/22. Na tomto snímku stejně jako na ostatních nelze s jistotou nalézti žádného vrstvení světla v jádru komety.

Mikrofotogramy byly proměny a zpracovány metodou dříve zmíněnou.<sup>4)</sup> Byla zvolena symetrická forma rovnice

$$\psi[T + \frac{1}{2}\eta(T)] - \psi[T - \frac{1}{2}\eta(T)] = 0,935^m,$$

k níž bylo hledáno řešení se spojitou derivací prvnou a druhou. Shoda křivky rozdílů zčernání  $\eta(T)$ , odvozené ze snímku prvého a druhého, s křivkou ze snímku druhého a třetího byla mírou změn extinkce. Rozdíly jsou uspokojivé až snad na křivku odvozenou z poslední desky 320 N, kdy kometa stála už hodně nízko nad obzorem a extinkce zřejmě kolísala. Křivka  $\eta(T)$  měla maximum, čímž řešení bylo zjednodušeno. Zároveň v okolí tohoto maxima máme profil nejlépe zajištěný; použil jsem právě těchto hodnot, abych přivedl získané profily z jednotlivých desek a večerů předběžně ke krytí posunem ve směru osy jasnosti: profily jsou přirozeně známé z dosud popisovaných snímků až na nulový bod. Všechny křivky byly posunuty tak, aby se co možno přiblížily křivce z desky 312 N 21 ve zmíněném oboru. Takto získanou tabulkou neuvádím; možno ji snadno obdržet z tabulky v dalším textu. Bylo z ní patrně, zejména když jsme si křivky nakreslili, že výsledky z různých desek a večerů velmi dobře spolu souhlasí co do tvaru fotometrického profilu, a to i v části centrální (až na dva snímky), kde bychom se museli smířiti i s většími rozdíly vzhledem k tomu, že jsme už v oboru přeexpozice. Podobně je tomu na okraji komety, v oboru podexpozice, kde rozdíly jsou větší také následkem účinku zrna desky na záznam mikrofotometru.

Z grafického znázornění však vidíme, že profily dne 12. srpna jsou proti předešlým dnům poněkud zúžené; máme tu fotometricky vyjádřený již známý fakt, že hlava komety se v perihelu úží; s tím jsou v souhlase i další výsledky.

Nulový bod profilu určil jsem na zvláštních deskách jednou pro každý večer, s výjimkou 6. VIII., srovnáním se severní pol. sekvencí. Hlava komety a hvězda č. 14 byly pak proregistrovány mikrofotometrem. Zvolíme-li za jednotku plošnou jasnost hvězdy  $9,00^m$  rozšířené na kotouček o průměru 1 mm na fotografické desce ( $0,00^m$ ) obdržíme definitivní profily obsažené v tabulce č. 1.

Získali jsme je posunutím profilů shora zmíněných o tyto hodnoty: pro 8. VIII.  $+ 0,23^m$ , 9. VIII.  $+ 0,25^m$ , 12. VIII.  $+ 0,36^m$ . Nulový bod pro desku 308 N byl vzat stejný, jako pro desku 309 N.

<sup>4)</sup> L. c. Schwarzschild, Astr. Nachr., 172 (1906), 67.

Tabulka 1.

mm	308/19	309/15	312/21	313/22	317/24	318/16	320/17
29			1,80				
28			1,75				
27			1,70				
26	1,71	1,90	1,65				
25	1,66	1,80	1,58				
24	1,58	1,73	1,51				
23	1,51	1,62	1,46				
22	1,44	1,55	1,40				
21	1,36	1,47	1,33				
20	1,25	1,38	1,26				
19	1,15	1,27	1,17				
18	1,06	1,19	1,09				1,47
17	0,97	1,05	1,01				1,34
16	0,87	0,96	0,90				1,22
15	0,77	0,89	0,77	0,98			1,12
14	0,67	0,69	0,66	0,86			0,96
13	0,54	0,58	0,55	0,69		1,06	0,85
12	0,40	0,42	0,42	0,56		0,84	0,65
11	0,27	0,28	0,29	0,42		0,59	0,46
10	0,15	0,14	0,16	0,27	0,28	0,38	0,28
9	0,00	— 0,04	0,00	0,09	0,19	0,16	0,08
8	— 0,16	— 0,22	— 0,16	— 0,09	0,02	— 0,05	— 0,06
7	— 0,32	— 0,39	— 0,31	— 0,29	— 0,18	— 0,23	— 0,25
6	— 0,50	— 0,60	— 0,53	— 0,51	— 0,42	— 0,45	— 0,51
5	— 0,69	— 0,82	— 0,78	— 0,73	— 0,63	— 0,68	— 0,72
4	— 0,97	— 1,01	— 1,07	— 1,01	— 0,94	— 0,93	— 0,95
3	— 1,27	— 1,29	— 1,45	— 1,30	— 1,25	— 1,20	— 1,26
2	— 1,61	— 1,69	— 1,82	— 1,64	— 1,59	— 1,57	— 1,64
1	— 2,18	— 2,09	— 2,42	— 2,04	— 2,06	— 2,00	— 2,13
0	— 2,79	— 2,31	— 2,77	— 2,52	— 2,62	— 2,70	— 2,65
1	— 2,13	— 2,06	— 2,14	— 2,06	— 1,95	— 2,08	— 2,04
2	— 1,60	— 1,63	— 1,70	— 1,65	— 1,47	— 1,45	— 1,48
3	— 1,24	— 1,22	— 1,39	— 1,39	— 1,15	— 1,16	— 1,13
4	— 0,98	— 0,97	— 0,98	— 1,09	— 0,85	— 0,89	— 0,83
5	— 0,67	— 0,72	— 0,65	— 0,78	— 0,60	— 0,62	— 0,56
6	— 0,43	— 0,52	— 0,45	— 0,50	— 0,37	— 0,42	— 0,32
7	— 0,24	— 0,31	— 0,21	— 0,26	— 0,10	— 0,18	— 0,09
8	— 0,08	— 0,11	— 0,03	— 0,03	0,17	0,00	0,15
9	0,13	0,09	0,13	0,17		0,24	0,39
10	0,26	0,28	0,30	0,35		0,41	0,57
11	0,39	0,45	0,43	0,53		0,68	0,76
12	0,53	0,60	0,56	0,66		0,93	1,00

mm	308/19	309/15	312 21	313/22	317/24	318/16	320/17
13	0,68	0,78	0,70	0,83		1,12	1,22
14	0,85	0,92	0,79	0,95		1,32	1,44
15	1,03	1,09	1,01	1,11			1,57
16	1,13	1,19	1,13				1,72
17	1,28	1,29	1,27				1,93
18	1,38	1,43	1,38				2,16
19	1,52	1,54	1,46				
20	1,60	1,66	1,56				
21	1,66	1,75	1,63				
22	1,72	1,86	1,72				
23	1,79						
24	1,90						
25	1,97						
26	2,04						

Směr fotometrického průřezu je přibližně kolmý ke směru ohonu. Postup čísel v jednotlivých sloupcích tabulky shora dolů odpovídá co do smyslu postupu hlavou komety ve stejném směru, jakým postupovala kometa mezi stálicemi (ve dnech měření měla vlastní pohyb rovněž přibližně kolmý ke směru ohonu). Hodnoty argumentu v milimetrech od jádra komety (0) vztahují se na mikrofotogramy, na desce jsou vzdálenosti  $7 \times$  menší. Jeden milimetr na desce odpovídá  $1,04'$ . Vzdálenost komety od Země byla ve dnech pozorování podle předběžných elementů  $\Delta = 0,55$  až  $0,58$ .

K tabulce nutno připojiti tato pozorovací data (čas UT, srpen):

Deska 308N, 3 exposice po 20 min. mezi 6,9875 až 7,0340. Střed střední expozice 7,01095.

Deska 309N,  $3 \times 20$  min. mezi 8,8542 až 8,9021. Střed 8,87880.

Deska 312N,  $3 \times 20$  min. od 9,8528 do 9,9000. Střed 9,87614.

Deska 313N,  $3 \times 5$  min. od 9,9250 do 9,9382. Střed 9,93188.

Deska 317N,  $3 \times 2$  min. od 12,8424 do 12,8507. Střed 12,84648.

Deska 318N,  $3 \times 5$  min. od 12,8556 do 12,8701. Střed 12,86276.

Deska 320N,  $3 \times 15$  min. od 12,9243 do 12,9604. Střed 12,94655.

Tabulka představuje první krok k fotometrickému studiu hlavy komety. Pro úplné poznání struktury bylo by třeba provésti řezy též v jiných směrech. To zatím nebylo možné, protože Mollův mikrofotometr neměl zařízení, jež by připouštělo otáčeti měrně deskou v posičním úhlu.

Vypočteme-li z tabulky vzdálenosti od jádra komety, ve kte-